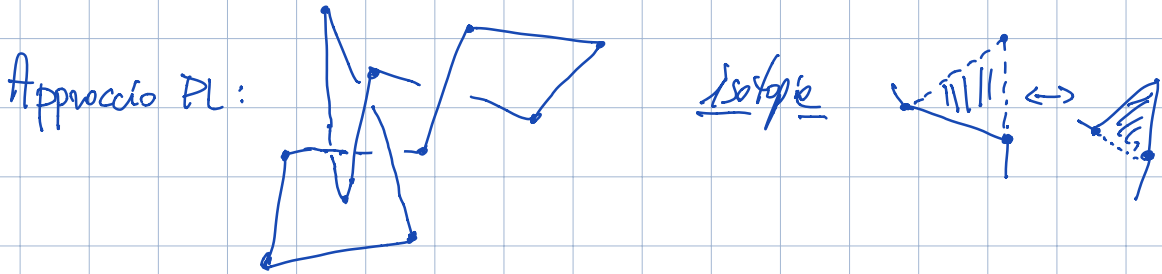
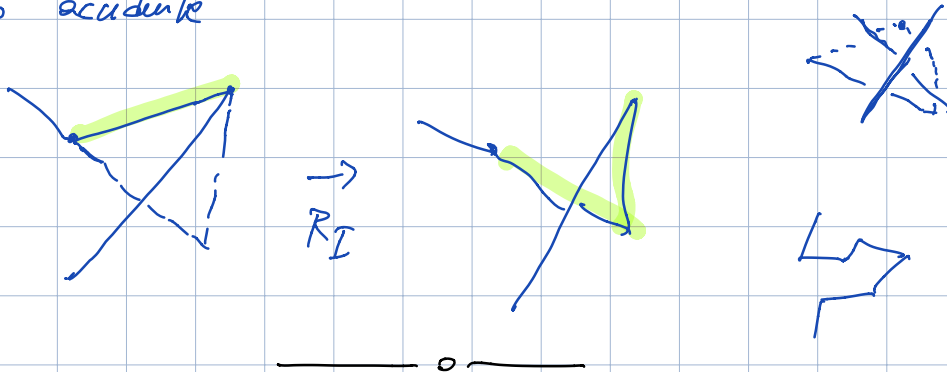


LDT - IUSS 4/4/2020

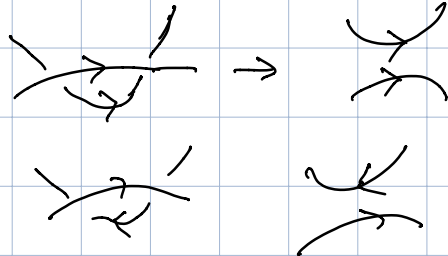
$\{ \text{link DIFF} \} / \text{isotopia} \iff \{ \text{diagrammi planari} \} / \text{isotopia planare} + \text{move } R_I, R_{II}, R_{III}$



posso suddividere il triangolo in triangoli in cui accade un solo accidente



Versioni orientate delle mosse



Fatto: $R_I^{(2)} \neq R_I^{(e)}$

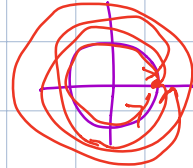
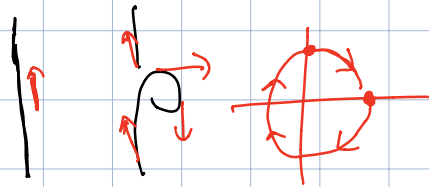


$$R_I^{(2,-)} \neq R_I^{(2,+)}$$

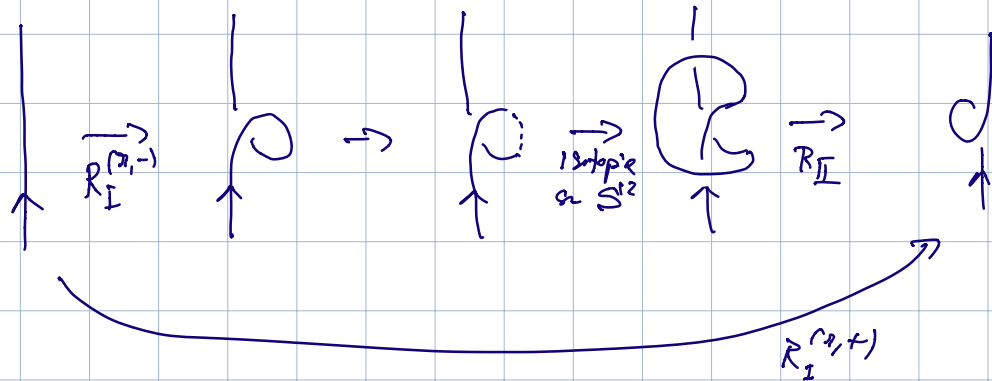
$$\alpha: S^1 \rightarrow \mathbb{R}^2$$

$$\frac{\alpha'}{\|\alpha'\|}: S^1 \rightarrow S^1$$

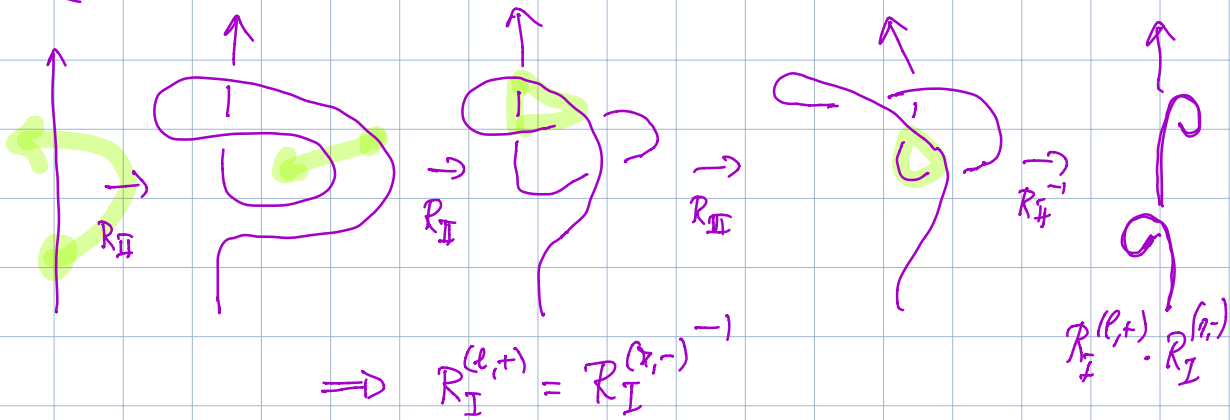
$$\pi_1(S^1) = \mathbb{Z}$$



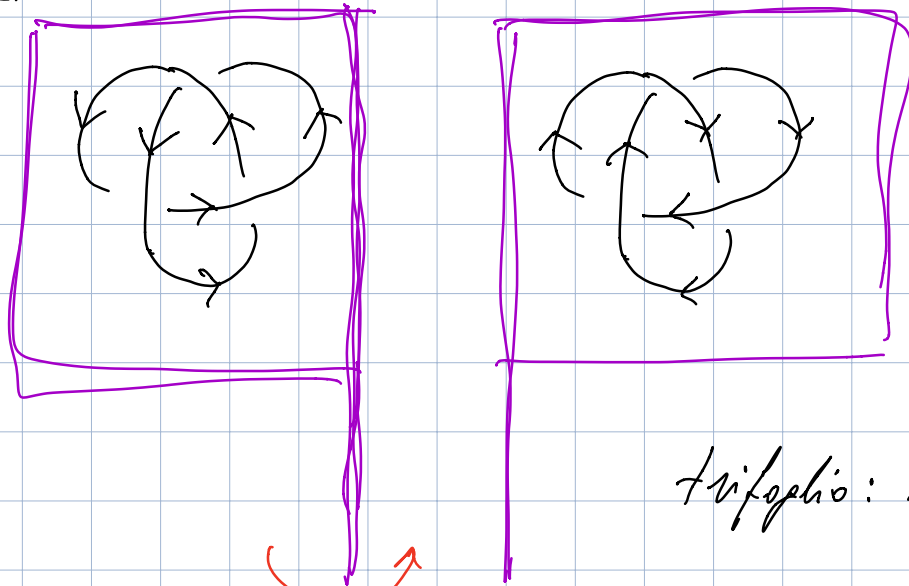
Oss: i diagrammi posso vederli in $S^2 = \mathbb{R}^2 \cup \{\infty\}$.



Oss:

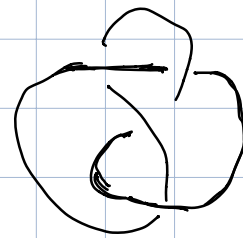


invertibile:



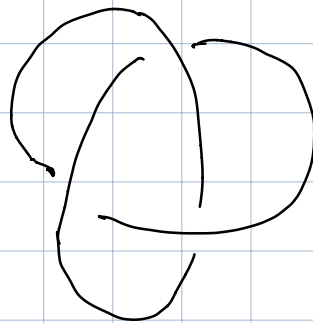
Esercizio: tradurre \nearrow
in mosse R_I, R_{II}, R_{III} .

trifoglio: \bar{n}

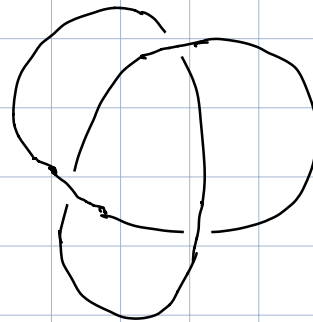


non invertibile

chirale:



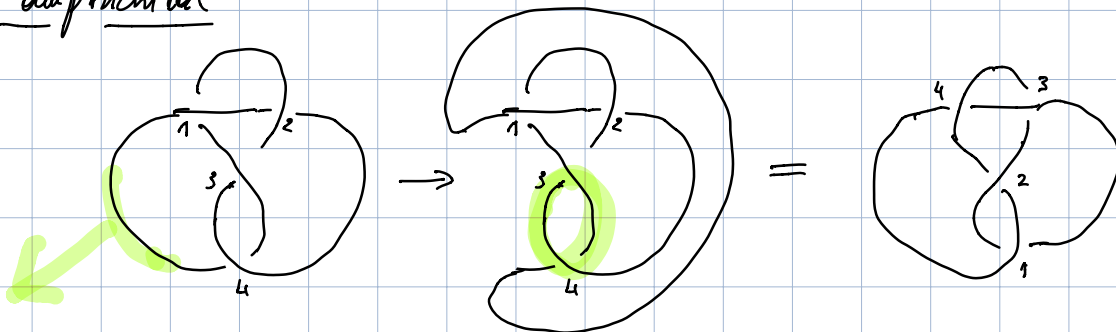
\neq
(vedremo)



trifoglio destro

trifoglio sinistro

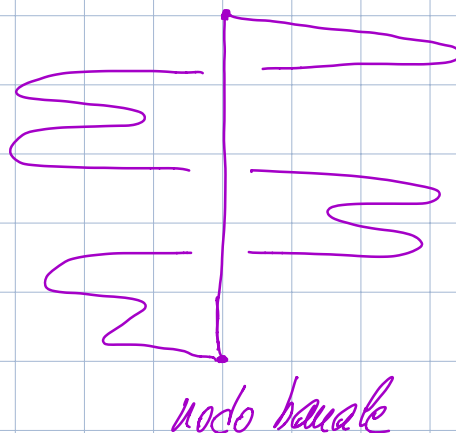
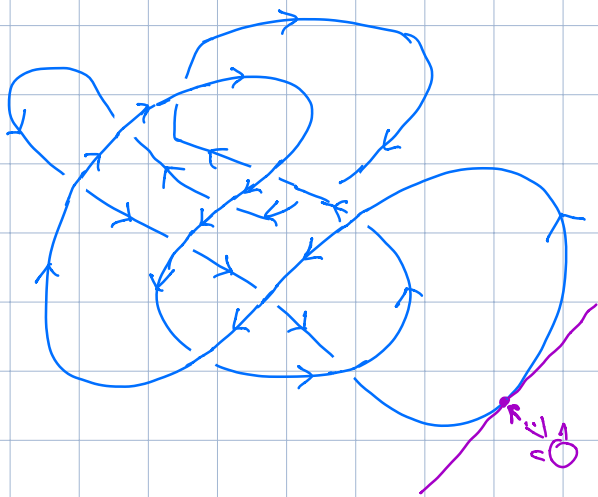
amphichiral



Prop: dato D qualsiasi diagramma di link esistono scambi
di incroci che rendono D diagramma del link banale



Dimo: per un nodo:



link $K_1 \cup \dots \cup K_m$

K_1 sempre sopra gli altri, lo spondo ...



Invarianti per nodi:

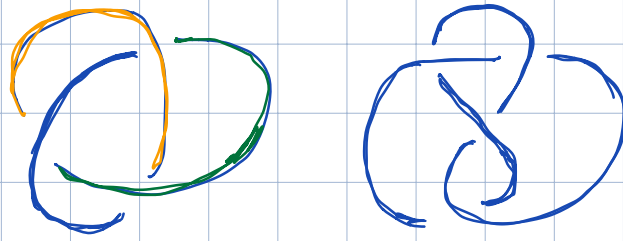
$I: \{\text{diagrammi}\} \rightarrow \mathbb{S}$

t.c. se due diagrammi sono legati da mosse R_I, R_{II}, R_{III} allora I ha lo stesso valore.

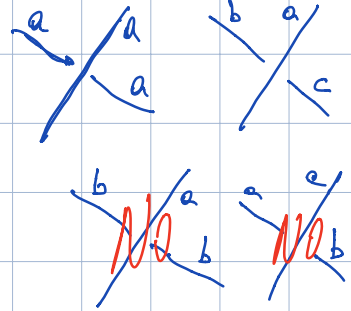
Tricolorazioni:

$\{a, b, c\}$ tricolorazioni di diag. D

un colore per gli overarc (gli archi con cui D è disegnato) t.c. a ogni incrocio vedo o 3 volte lo stesso colore o



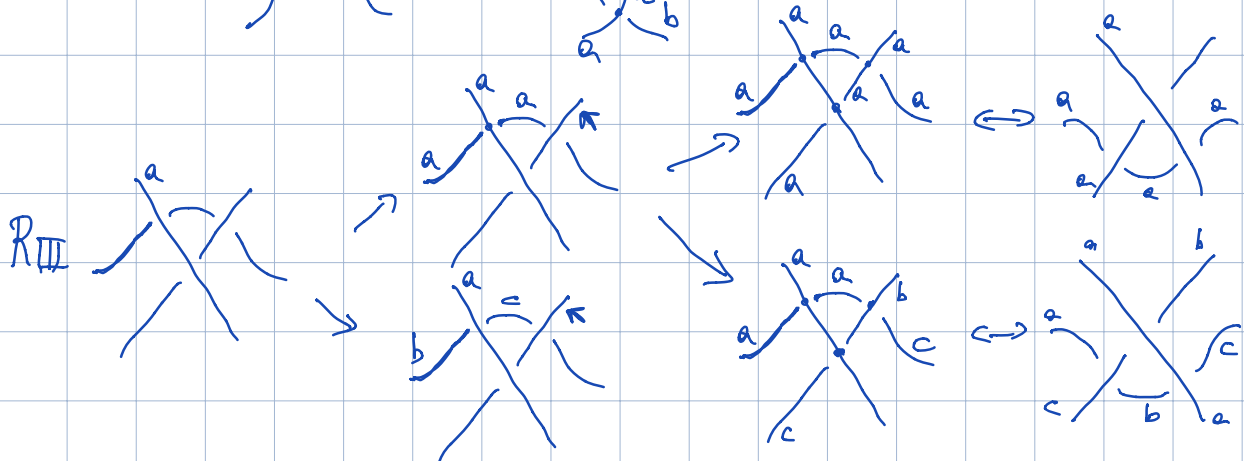
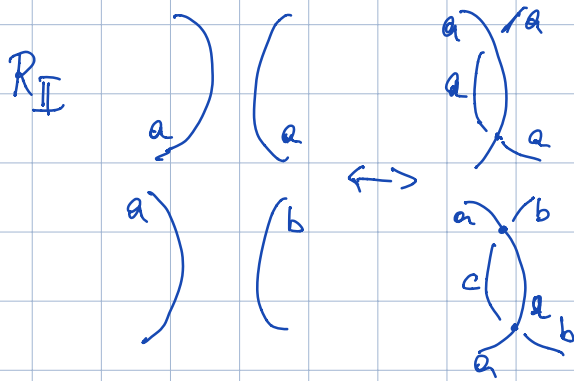
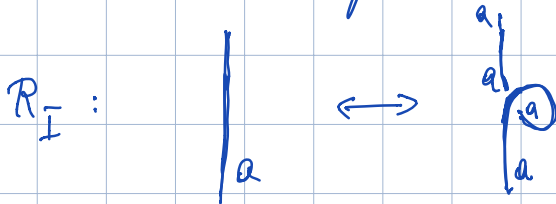
trkhi e tre i colori:

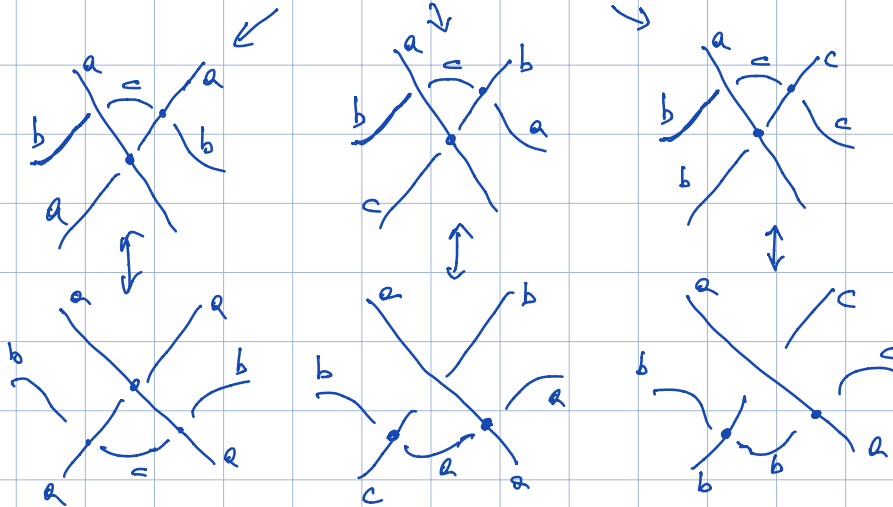


Def: $c_3(D) = \# \{ \text{tricolorazioni} \} / \cong_{\{a,b,c\}}$

Teo: c_3 è un invariante.

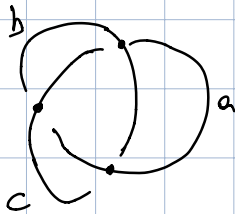
Dimo: Provo che per ogni mossa R_I, R_{II}, R_{III} c'è una naturale bijezione tra le tricolorazioni prima e dopo.





Con: $\neq 0$

Dim: $c_3(\bigcirc) = 1$

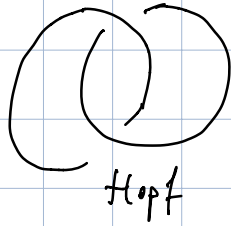


$c_3(\text{trif}) = 2.$

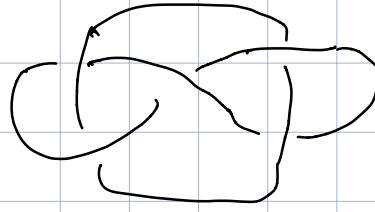


Oss: $c_3 \left(\text{trefoil with crossings } a, b, c \text{ and a red circle} \right) = 1$

Con:



Hopf



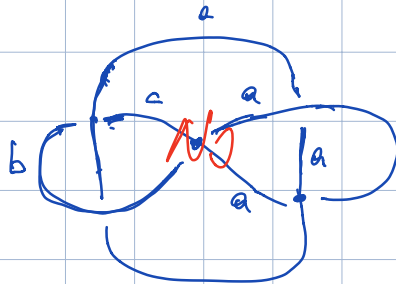
Whitehead

diviso da $\bigcirc \bigcirc$

(Hopf $\neq \bigcirc \bigcirc$ facile
Hopf \neq Whitehead facile)

$$c_3(\bigcirc \bigcirc) = 2$$

$$c_3\left(\begin{array}{c} a \\ \bigcirc \\ a \end{array}\right) = 1$$

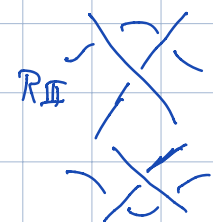
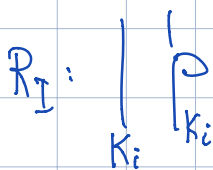


$$c_3(\text{Whitehead}) = 1.$$

Linking number per coppie di nodi orientati

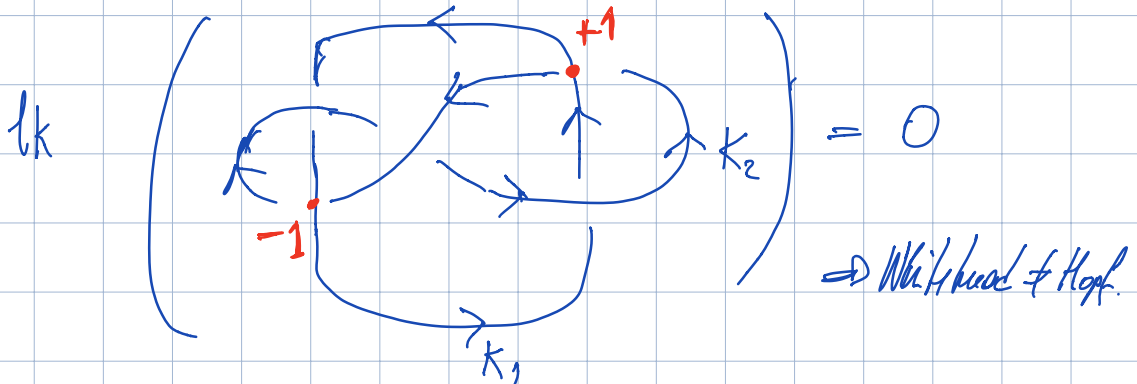
$$\vec{K}_1, \vec{K}_2 \quad lk(\vec{K}_1, \vec{K}_2) = \sum \pm 1 = \sum_{\substack{\uparrow \\ K_1 \\ K_2}} (+1) + \sum_{\substack{\leftarrow \\ K_1 \\ K_2}} (-1)$$

Prop: è ben def (inv. per R_I, R_{II}, R_{III}):



Es: $lk(\circlearrowleft \circlearrowleft) = 0$

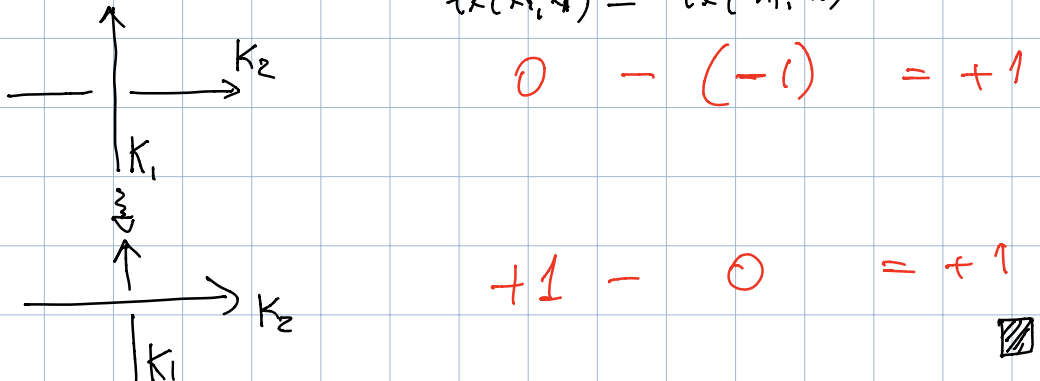
$lk(K_1, K_2) = |-1| = 1$



Prop: $lk(\vec{K}_2, \vec{K}_1) = lk(\vec{K}_1, \vec{K}_2)$

Dimo: se sono lontani 
sono entrambi 0.

Tramite scambi incroci diventano isotopi e lontani
 \Rightarrow basta vedere che $lk(\vec{K}_2, \vec{K}_1) - lk(\vec{K}_1, \vec{K}_2)$
 non cambia con scambi incroci:
 $lk(K_2, K_1) - lk(K_1, K_2)$



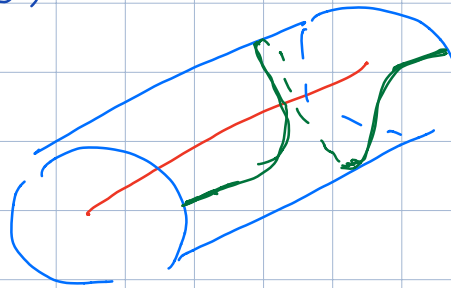
Oss: $lk(\vec{K}_1, \vec{K}_2) = \frac{1}{2} \left(\sum_{\substack{\leftarrow \uparrow \\ K_i \\ \{i,j\}=\{1,2\}}} (+1) + \sum_{\substack{- \downarrow \rightarrow \\ K_i \\ \{i,j\}=\{1,2\}}} (-1) \right)$



Def: chiamo nodo con framing un nodo con una scelta di una sua longitudine / isotopia:

K , $U(K) \cong D^2 \times S^1$, $\lambda \in \partial U(K)$
 $[\lambda] =$ generatore di $H_1(U)$

visto a meno di isotopia di U
 e isotopia delle longitudine
 su ∂U .

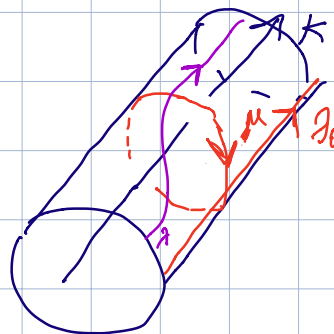


Visto: c'è una longitudine privilegiata.

Oss: se λ_0 è la long. privilegiata le altre sono parametrizzate da \mathbb{Z} così:



\rightsquigarrow

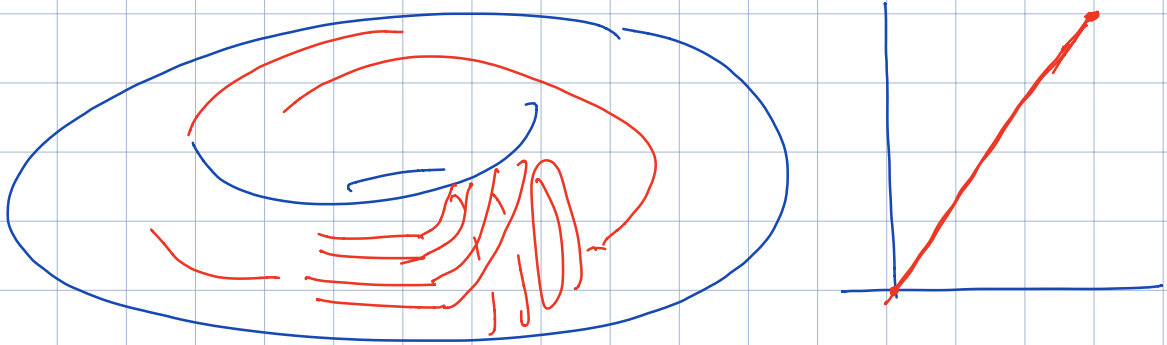


$[\lambda] = [\lambda_0 + p\mu] \in H_1(\partial U)$

$$\gamma \leftrightarrow p \in \mathbb{Z}$$

Oss: non dipende da orientazione.

Oss: su ∂U una qualsiasi curva semplice chiusa non
 boudle α ($\alpha \neq \partial U$) si scrive come
 $[\vec{\alpha}] = [a\gamma + b\gamma_0]$ con $(a, b) = 1$.



Corrispondenza: $\left\{ \begin{array}{l} \text{curve semplici chiuse} \\ \text{non boudle in } \partial U \end{array} \right\} / \text{omotopia} \longleftrightarrow \mathbb{Q} U \setminus \{0\}$

$[\alpha] \longleftrightarrow \frac{a}{b} \in \mathbb{Q} U \setminus \{0\}$
 $n[\vec{\alpha}] = [a\gamma + b\gamma_0]$

\cup
 $\left\{ \text{longitudinali} \right\} \longleftrightarrow \mathbb{Z} \text{ in } H_1(\partial U)$

Prop: dato $\vec{K} \subset S^3 \exists \Sigma$ sup. orientate $\subset S^3$ t.c $\partial \Sigma = \vec{K}$.

Def Ogni tale Σ è detta sup. di Seifert per K .

Dimo: (1) $[\gamma_0] = 0 \in H_1(E)$ ($E = S^3 \setminus \dot{U}$)

" \Rightarrow " γ_0 bouda superficie orientata in E

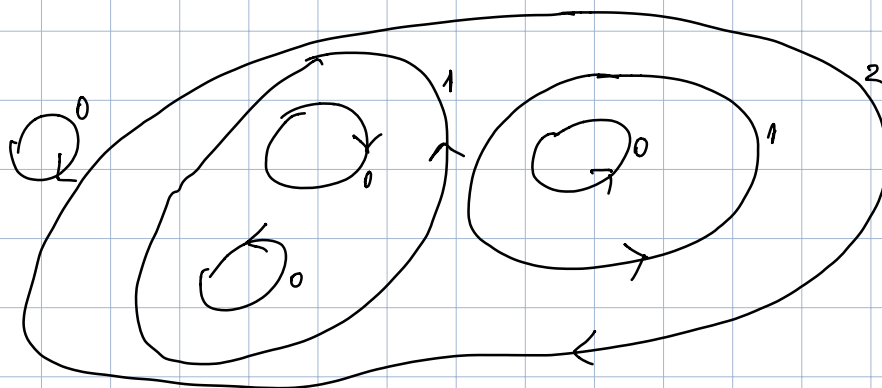


(2) algoritmo di Seifert:

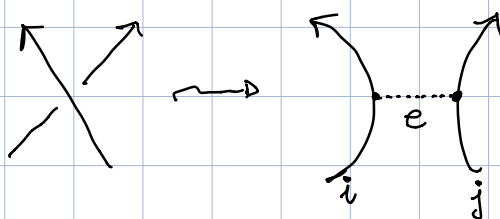
- parto da diagramma D
- semplifico incroci usando orientazione:



- trovo circonferenze in \mathbb{R}^2 : le ordino dichiarando livello 0 quelle che non circondano altre, livello 1 quelle che circondano solo quelle 0 etc.



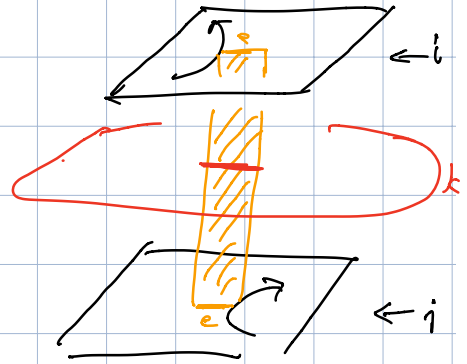
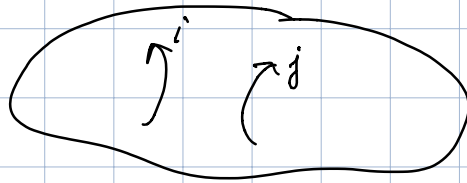
- sullo il livello l ad altezza l e in $\mathbb{R}^2 \times \{l\}$ considero dischi orientati bordati positivamente dalle circonfer. a livello l .

- affisso: 

$ex[i,j]$ non incontra alcun disco

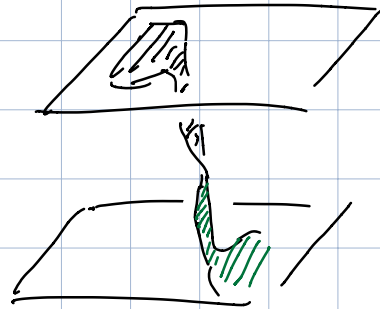
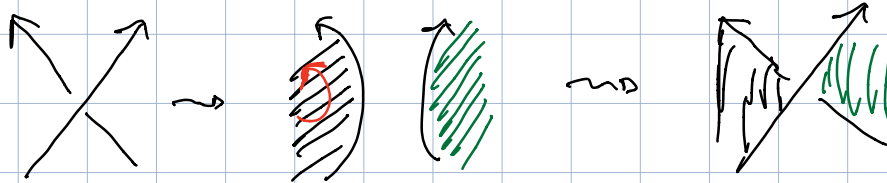
abbinamenti

$$j < k < i$$

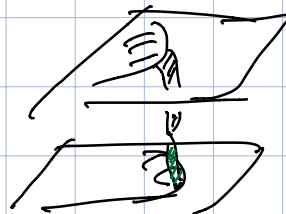
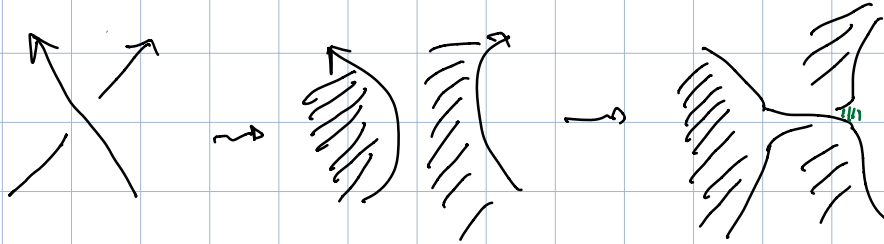


$k \Rightarrow k$ circonda i
ASSURDO

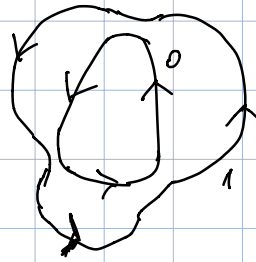
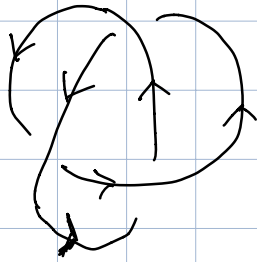
• ripristino gli incroci incollando pezzi di disco:



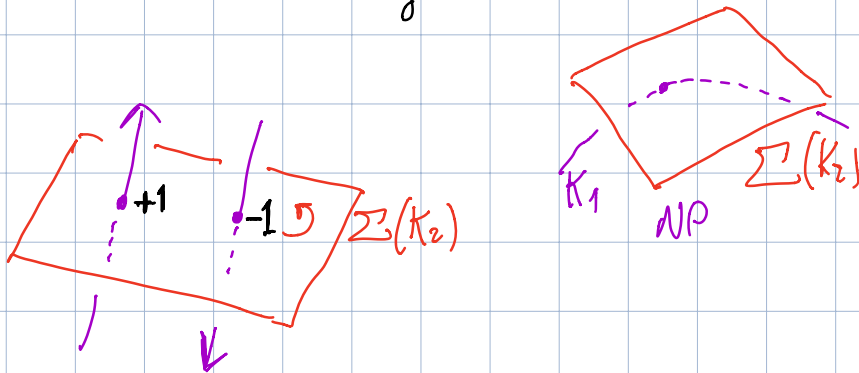
oppure:



Es:

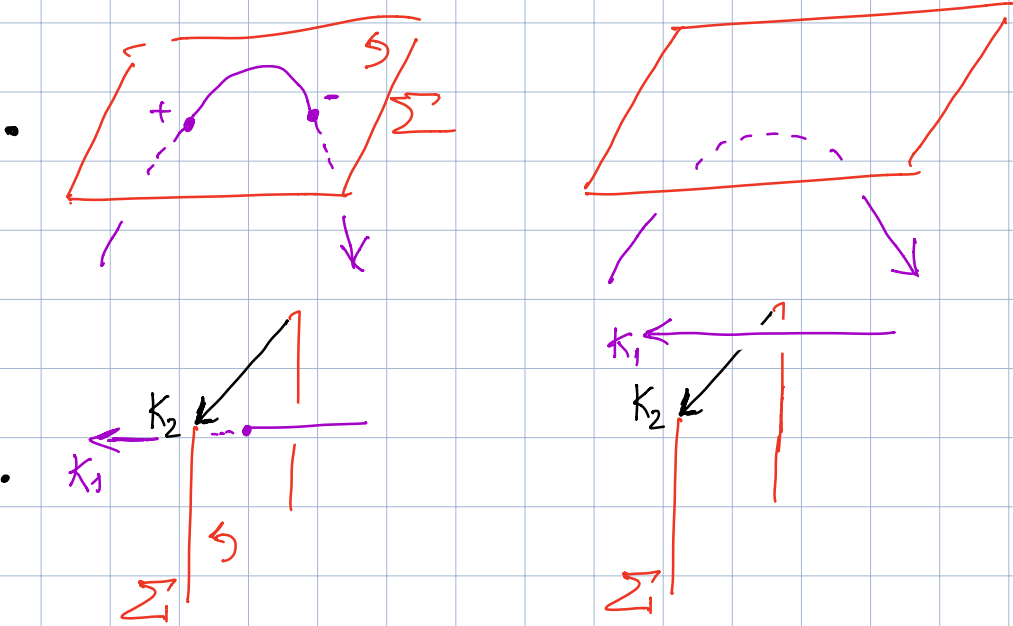


Prop: $lk(K_1, K_2) = \#_{alg} (K_1 \cap \Sigma(K_2))$



Dimo: se K_1 è lontano da $\Sigma(K_2)$ entrambi 0.

Provo che spostando K_1 lontano da $\Sigma(K_2)$ la differenza non cambia:



$$+1$$

$$0$$

$$\# K_1 \cap \Sigma(K_2)$$

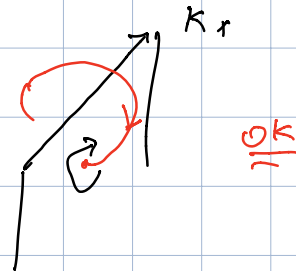
$$\neq 0$$

$$lk(K_1, K_2)$$

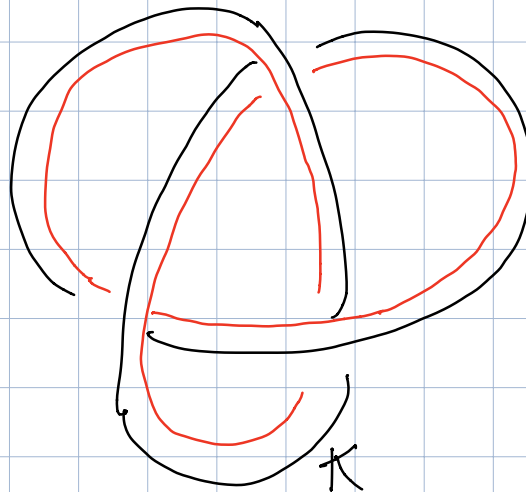


Con: $lk(\vec{K}_1, \vec{K}_2) = p$ se $[\vec{K}_2] = p \cdot [\vec{K}_1] \in H_1(E(K_1))$

Dimo: basta vedere che $\# \vec{K}_1 \cap \Sigma(K_1) = +1$



Def: chiamo framing diagrammatico di un diagramma D di un nodo K quello in cui la longitudine è parallela a D sul piano:

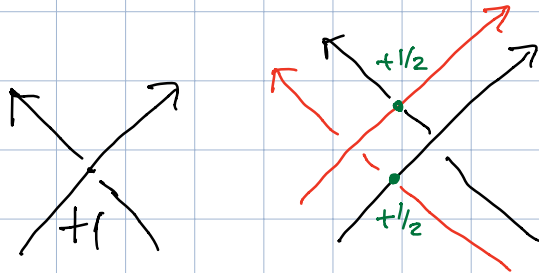


Def: $slk(D) = \sum_{\leftarrow \uparrow} (+1) + \sum_{\rightarrow \uparrow} (-1)$

(cambio orientazione a caso $\leftarrow \uparrow_{+1} \rightsquigarrow - \downarrow_{+1}$)

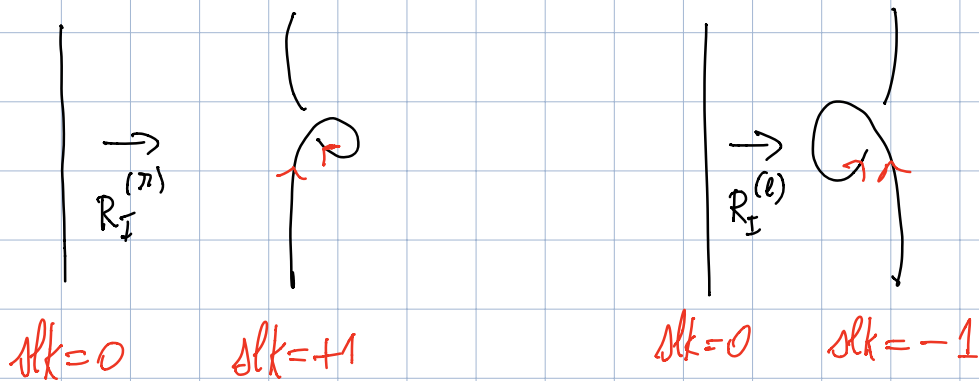
Prop: l'intero che corrisponde al framing di un diagramma è $slk(D)$

Dimo:



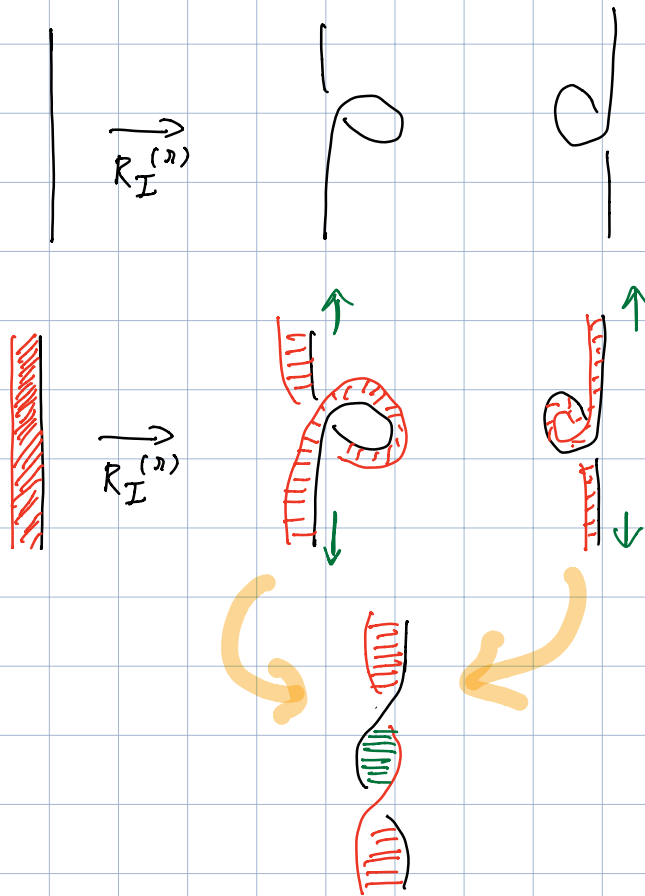
Oss: $1 \leftrightarrow p$
 se $[1] = [20 + p1]$
 $\Rightarrow p = lk(K, 1)$
 ▣

Con: due diagrammi legati da mossa R_I definiscono nodi con framing diversi:



Oss: R_{II} e R_{III} e mossa ottavano ∞ preservano framing

Con: $R_I^{(\pi)}$ è generata da R_{II}, R_{III} , isotope ottavano ∞
 ma non senza $R_I^{(e)-1}$ + $R_I^{(e)-1}$



Teo: due diagrammi rappresentano lo stesso nodo con framme
 \Leftrightarrow si ottengono uno dall'altro tramite

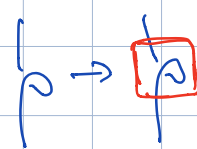
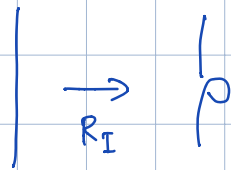
- R_{II}, R_{III} + isotopia su S^2
- R_{II}, R_{III} + mosse $\begin{matrix} p \leftrightarrow d \\ \hline \end{matrix}$

Dico: equivalenza dei due set segue da quanto visto all'inizio.
Faccio dico con secondo

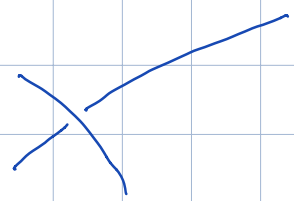
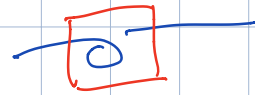
D_1, D_2 rappresentano stesso nodo

\Rightarrow lept. da R_I, R_{II}, R_{III} .

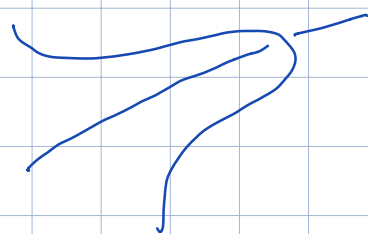
Modifico successione così:



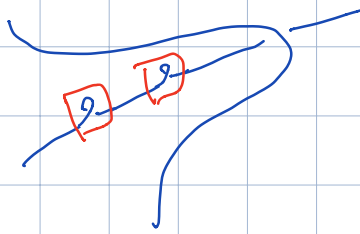
esempio solo R_{II} e R_{III} ma faccio comparsa



\rightsquigarrow
intorcia
piano



\rightsquigarrow
 R_{II}, R_{III}

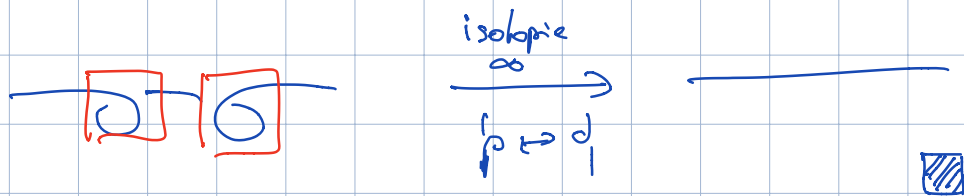


Alle fine ho $D_1 \rightsquigarrow_{R_{II}, R_{III}} \bar{D}_2 = D_2 + \text{alcuni riccioli}$

$\Rightarrow \bar{D}_2$ e D_2 danno lo stesso framing:
 \Rightarrow numero algebrico di riccioli $= 0$

li faccio scivolare vicini \Rightarrow ne ho due disordi adiacenti





$$\mathcal{L} = \{\text{link con framing}\} / \sim$$

Kauffman bracket

$$[\cdot] : \mathcal{L} \rightarrow \mathbb{Z}[A^{\pm 1}]$$

$$\bullet \quad \left[\begin{array}{c} \diagup \diagdown \\ \diagdown \diagup \end{array} \right] = A \cdot \left[\begin{array}{c} \diagdown \diagdown \\ \diagup \diagup \end{array} \right] + A^{-1} \left[\begin{array}{c} \diagup \diagup \\ \diagdown \diagdown \end{array} \right]$$

sopra verso sinistra
sopra verso destra

$$\bullet \quad [D \sqcup O] = (-A^2 - A^{-2}) \cdot [D] \quad D \neq \emptyset$$

$$\bullet \quad [\emptyset] = 1$$

oppure: chiamo stato s le scelte di segni \pm o $-$
 per ciascun incrocio j $p(s) = \# "+"$ $m(s) = \# "-"$

$|s| = \#$ circonferenze del diagramma
 semplificato



$$[D] = \sum_s A^{p(s) - m(s)} \cdot (A^2 - A^{-2})^{|s|}$$

\mathcal{L} è ben def. sui diagrammi.

Teo: è invariante rispetto alle mosse con framme \Rightarrow è ben def. m.f.

Dimo:

• $\rho \leftrightarrow d$

provo invece che
hanno stesso sp. llo. n. [...]

$\rho \rightarrow d$ $d \rightarrow \rho$

$$\begin{aligned} \begin{bmatrix} \rho \\ | \end{bmatrix} &= A \cdot \begin{bmatrix} 0 \\ | \end{bmatrix} + A^{-1} \cdot \begin{bmatrix} b \\ | \end{bmatrix} = (A(-A^2 - A^{-2}) + A^{-1}) \cdot \begin{bmatrix} | \\ | \end{bmatrix} \\ &= (-A^3) \cdot \begin{bmatrix} | \\ | \end{bmatrix} \end{aligned}$$

$\begin{bmatrix} d \\ | \end{bmatrix} = \dots$ stesso.

• $\begin{bmatrix} \text{diagram} \\ | \end{bmatrix} = A^2 \cdot \begin{bmatrix} \text{diagram} \\ | \end{bmatrix} + \begin{bmatrix} \text{diagram} \\ | \end{bmatrix}$
 $+ \begin{bmatrix} \text{diagram} \\ | \end{bmatrix} + A^{-2} \cdot \begin{bmatrix} \text{diagram} \\ | \end{bmatrix}$
 $= \cancel{(A^2 - A^{-2} - A^{-2} - A^{-2})} \begin{bmatrix} \text{diagram} \\ | \end{bmatrix} + 1 \cdot \begin{bmatrix} \text{diagram} \\ | \end{bmatrix}$

• $\begin{bmatrix} \text{diagram} \\ | \end{bmatrix} = A \cdot \begin{bmatrix} \text{diagram} \\ | \end{bmatrix} + A^{-1} \cdot \begin{bmatrix} \text{diagram} \\ | \end{bmatrix}$

$$= A \cdot \left[\begin{array}{c} \text{---} \\ \text{---} \\ \text{---} \end{array} \right] + A^T \left[\begin{array}{c} \text{---} \\ \text{---} \\ \text{---} \end{array} \right]$$

$$= \left[\begin{array}{c} \text{---} \\ \text{---} \\ \text{---} \end{array} \right] \cdot \left[\begin{array}{c} \text{---} \\ \text{---} \\ \text{---} \end{array} \right] \quad \square$$